

**Uwaga!** W egzemplarzach, w których na s. 4 (redakcyjnej) znajduje się adnotacja „Wydanie pierwsze, poprawione w listopadzie 2007 r.”, wymienione w erracie poprawki zostały już naniesione.

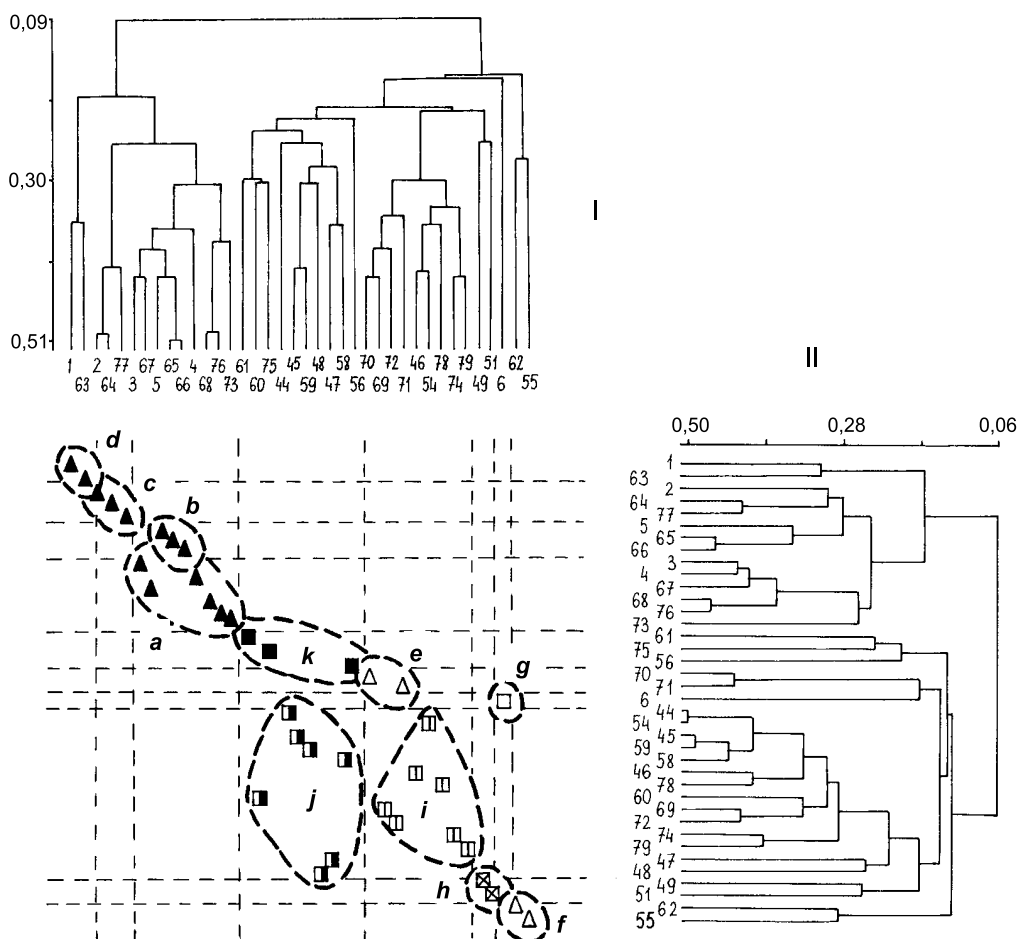
### ERRATA

Strona	Wiersz		Jest	Powinno być
	od góry	od dołu		
36		10	jego indywiduów	jej indywiduów
40		3	(2000-2003)	(BOHN, NEUHÄUSL red. 2000)
54	1-2		temperatura i pH gleby	temperatura powietrza i pH gleby
107	10		DICKMANN 1996	DIEKMANN 1996
127	17		(MEYER DREES 1949)	(MEIJER DREES 1949)
160		4	OBERDORFER (1977-1992)	OBERDORFER (red. 1977-1992)
171	10		Dla fitocenonów	W przypadku fitocenonów
171		14-15	na siedliskach mezofilnych	na siedliskach zasobnych
171		14	na siedliskach acydofilnych	na siedliskach kwaśnych
172	11		bukowych na mezofilnych	bukowych na zasobnych
202	15		7 <i>Sphagnum cuspidatum</i>	7 <i>Sphagnum cuspidatum</i>
225	7		$D_{PD} = \sum_{i=1}^n  x_{ij} - x_{ik}  / \sum_{i=1}^n \max(x_{ij} + x_{ik}),$	$D_{PD} = \sum_{i=1}^n  x_{ij} - x_{ik}  / \sum_{i=1}^n (x_{ij} + x_{ik}),$
235	13		RAMIEŃSKIEGO	RAMENSKIEGO
259	19		SZWABE (1997)	SCHWABE (1997)
269	2		siedlisk mezofilnych	siedlisk suchszych
284	po 3			BOHN U., NEUHÄUSL R. red. 2000. <i>Karte der natürlichen Vegetation Europas</i> , 1:2500000. Bundesamt für Naturschutz, Bonn.
285		po 20		COETZEE B.J., WERGER M.J.A. 1973. On hierarchical syndrome analysis and Zürich-Montpellier table method. <i>Bothalia</i> 11: 159-164.
295	po 4			MEDWECKA-KORNAŚ A., KORNAŚ J. 1963. Mapa zbiorowisk roślinnych Ojcowskiego Parku Narodowego. <i>Ochr. Przyr.</i> 29: 17-87.

#### Ryc. XIV-2 ze s. 234 – objaśnienie autora:

Cała część między dendrogramami z liniami przerywanymi i zaznaczonymi grupami (d, c, b itd.) powinna być przesunięta nieco w prawo w stosunku do górnego dendrogramu, tak aby czarny trójkąt pierwszy od lewej (grupa d) znalazł się pod linią dendrogramu z numerem 1, a ostatni po prawej biały trójkąt (grupa f) znalazł się pod linią górnego dendrogramu z numerem 55. Wtedy wszystkie pozostałe sygnatury będą pod liniami górnego dendrogramu z określonymi numerami (podobnie jak to jest w przypadku bocznego dendrogramu, gdzie wszystkie numery linii odpowiadają określonym sygnaturom). Jest to ważne, gdyż rycina ta ma także rolę instruktażową, pokazując, jak należy wyznaczyć grupy zdjęć, porównując położenie linii dendrogramów z określonymi numerami.

Na kolejnej stronie zamieszczono poprawioną wersję ryciny XIV-2.



**Ryc. XIV-2.** Podział 38 zdjęć fitosocjologicznych na grupy na podstawie porównania dwóch dendrogramów z zastosowaniem reguły pełnej zgodności. Klasyfikacja dotyczy zdjęć zbiorowisk leśnych z rezerwatu Skołczanka koło Krakowa. Użyto metody średnich połączeń nieważonych (UPGMA) oraz wzoru JACCARDA dla danych binarnych – dendrogram I i wzoru RUŻIČKI w przypadku danych z ilościowością gatunków (za + przyjęto wartość 0,5) – dendrogram II. a-c – różne postacie *Tilio-Carpinetum melittetosum*, d – fragmenty *T.-C. melittetosum*, e – *Pino-Quercetum*, f – fragmenty *Pino-Quercetum*, g – zbiorowisko *Pinus sylvestris-Vaccinium myrtillus*, h – zbiorowisko *Robinia pseudacacia-Chelidonium majus*, i – zbiorowisko *Pinus sylvestris-Rubus idaeus*, j – zbiorowisko *Pinus sylvestris-Peucedanum oreoselinum*, k – zbiorowisko *Quercus robur-Vincetoxicum hirundinaria* (według: DZWONKO, LOSTER 1990)

wszystkie podstawowe typy zbiorowisk, które można wyróżnić w danym przypadku. W ten sposób badacz jest w stanie analizować zbiory liczące od kilkudziesięciu do kilkuset zdjęć. Według doświadczeń autora może być ich nawet 400. W przypadku dużego zbioru zdjęć można podzielić go na kilka mniejszych (por. rozdz. XIII.2) i przeprowadzić klasyfikację dwustopniową, gdyż w analogiczny sposób mogą być klasyfikowane i porównywane grupy zdjęć wyróżnione w pierwszym etapie analizy danych.